

# 物理

本试卷共 8 页。考试结束后，将本试卷和答题卡一并交回。

注意事项：1. 答题前，考生先将自己的姓名、准考证号码填写清楚，将条形码准确粘贴在考生信息条形码粘贴区。

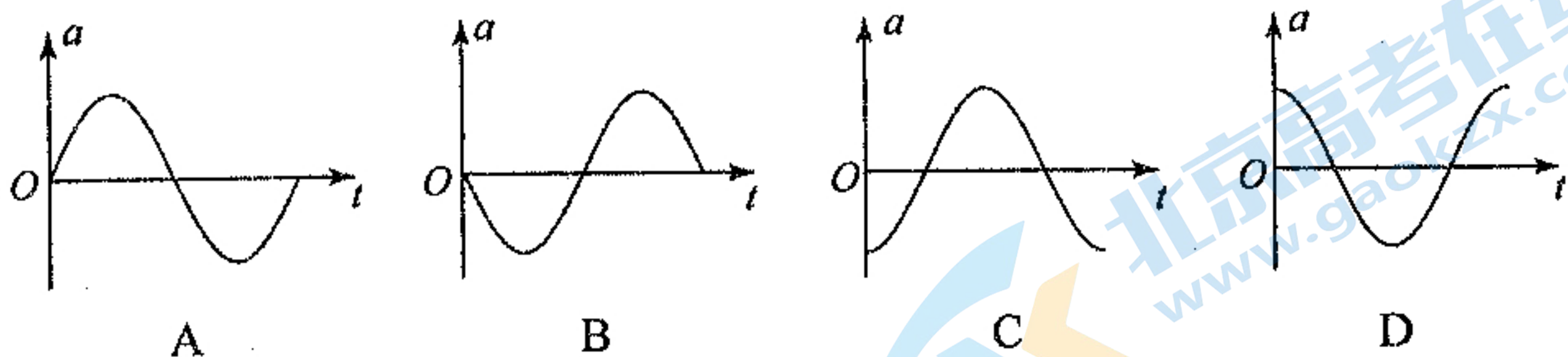
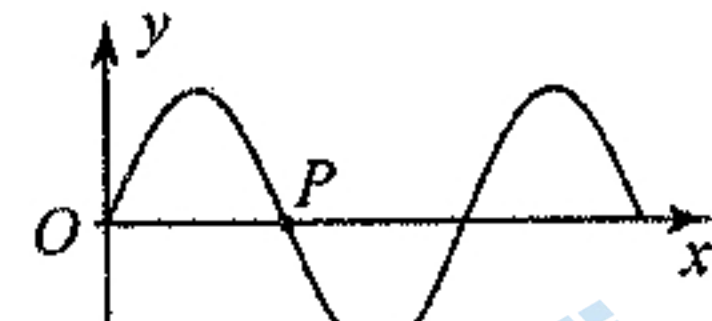
2. 选择题必须使用 2B 铅笔填涂；非选择题必须使用 0.5 毫米黑色字迹的签字笔书写，字体工整、笔迹清楚。
3. 请按照题号顺序在答题卡各题目的答题区域内作答，超出答题区域书写的答案无效；在草稿纸、试卷上答题无效。
4. 作图可先使用铅笔画出，确定后必须用黑色字迹的签字笔描黑。
5. 保持卡面清洁，不要折叠，不要弄破、弄皱，不准使用涂改液、修正带、刮纸刀。

一、选择题：本题共 10 小题，共 46 分。在每小题给出的四个选项中，第 1~7 题只有一项符合题目要求，每小题 4 分；第 8~10 题有多项符合题目要求，每小题 6 分，全部选对的得 6 分，选对但不全的得 3 分，有选错的得 0 分。

1. 如图，齐齐哈尔到长春的直线距离约为 400 km。某旅客乘高铁从齐齐哈尔出发经哈尔滨到达长春，总里程约为 525 km，用时为 2.5 h。则在整个行程中该旅客
  - A. 位移大小约为 525 km，平均速度大小约为 160 km/h
  - B. 位移大小约为 400 km，平均速度大小约为 160 km/h
  - C. 位移大小约为 525 km，平均速度大小约为 210 km/h
  - D. 位移大小约为 400 km，平均速度大小约为 210 km/h
2. 2023 年 8 月，我国首次在空间站中实现了微小卫星的低成本入轨。在近地圆轨道飞行的中国空间站中，航天员操作机械臂释放微小卫星。若微小卫星进入比空间站低的圆轨道运动，则入轨后微小卫星的
  - A. 角速度比空间站的大
  - B. 加速度比空间站的小
  - C. 速率比空间站的小
  - D. 周期比空间站的大
3. 某同学取一装有少量水的塑料矿泉水瓶，旋紧瓶盖，双手快速拧搓挤压水瓶。然后迅速拧松瓶盖，瓶盖被顶飞的同时瓶内出现白雾，则
  - A. 挤压水瓶过程中，瓶内气体分子的平均动能减小
  - B. 挤压水瓶过程中，瓶内气体内能不变
  - C. 瓶盖被顶飞过程中，瓶内气体对外做功
  - D. 瓶盖被顶飞过程中，瓶内气体温度升高

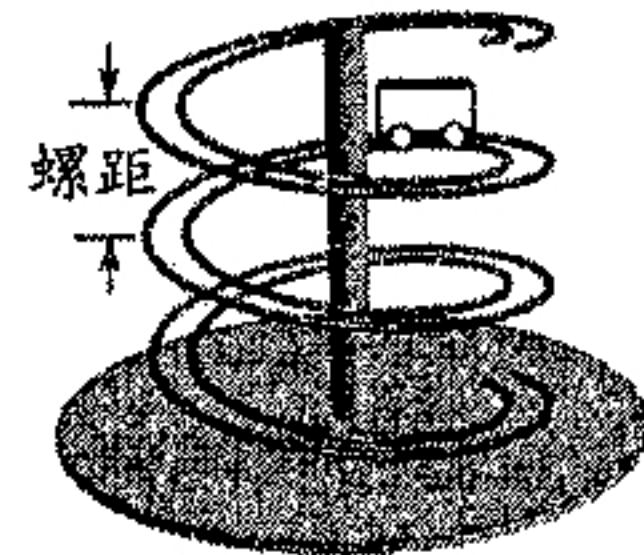


4. 一列简谐横波沿  $x$  轴正方向传播，某时刻的波形如图所示，则从此刻开始，介质中质点  $P$  的加速度  $a$  随时间  $t$  变化的图像为



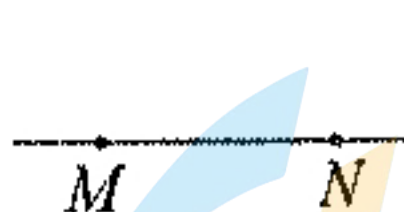
5. 某“失重”餐厅的传菜装置如图所示，运送菜品的小车沿等螺距轨道向下匀速率运动，该轨道各处弯曲程度相同，在此过程中，小车

- A. 机械能保持不变
- B. 动量保持不变
- C. 处于失重状态
- D. 所受合力不为零

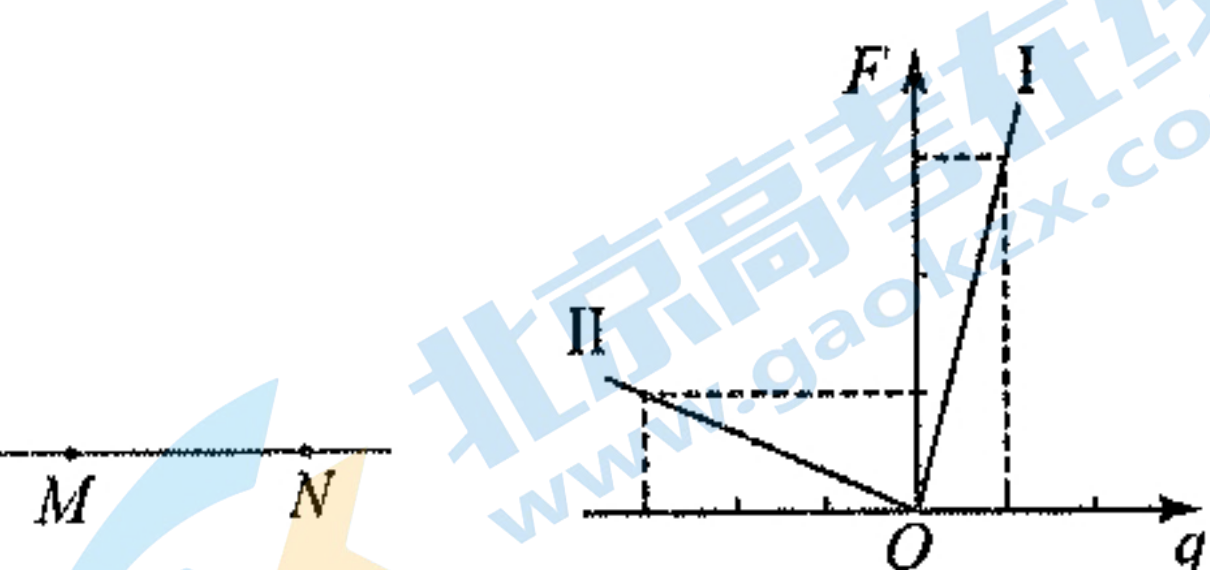


6. 如图(a)，一点电荷  $P$  (未画出)所在的水平直线上有  $M$ 、 $N$  两点。在  $M$ 、 $N$  两点分别放置试探电荷，其受到的静电力与试探电荷的电荷量的关系分别如图(b) 中直线 I、II 所示。规定向右为正方向，则

- A.  $P$  带正电
- B.  $P$  在  $M$  点左侧
- C.  $M$  点电势比  $N$  点的低
- D.  $M$  点电场强度比  $N$  点的小



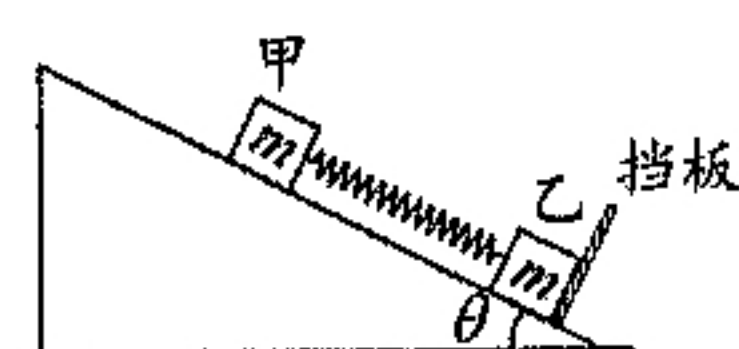
图(a)



图(b)

7. 如图，质量均为  $m$  的物块甲、乙静止于倾角为  $\theta$  的固定光滑斜面上，二者间用平行于斜面的轻质弹簧相连，乙紧靠在垂直于斜面的挡板上。给甲一个沿斜面向上的初速度，此后运动过程中乙始终不脱离挡板，且挡板对乙的弹力最小值为 0，重力加速度为  $g$ 。挡板对乙的弹力最大值为

- A.  $2mgsin\theta$
- B.  $3mgsin\theta$
- C.  $4mgsin\theta$



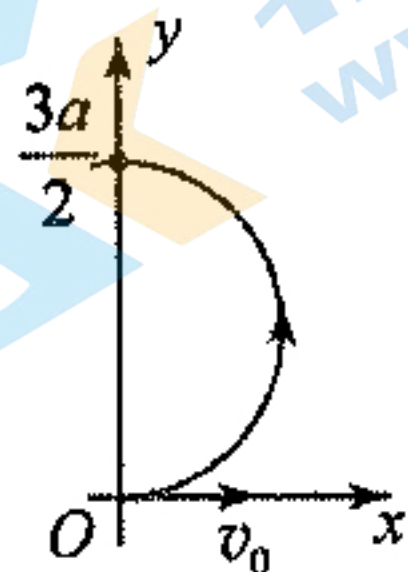
关注北京高考在线官方微信：京考一点通（微信号：bjgkzx），获取更多试题资料及排名分析信息。

8. 波长不同的  $a$ 、 $b$  两束单色平行光，分别照射到同一双缝干涉装置上，在屏上得到干涉条纹如图所示。下列说法正确的是

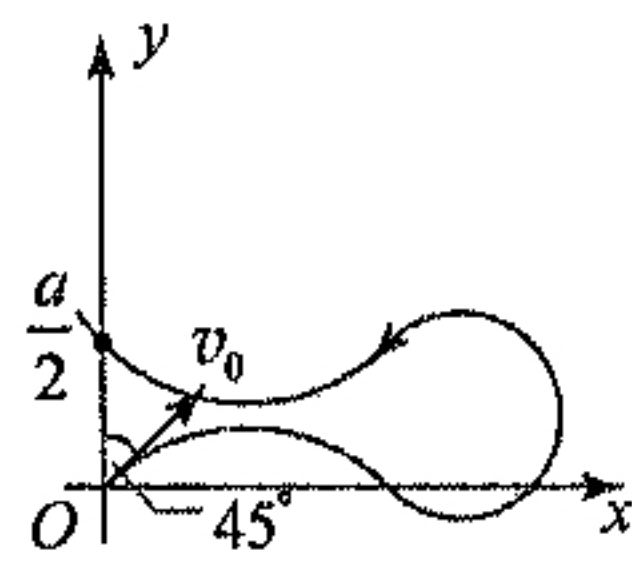
- A. 在真空中， $a$  光的波长比  $b$  光的长
- B. 在真空中， $a$  光的传播速度比  $b$  光的小
- C. 若只减小双缝到屏的距离，两光产生的条纹间距均变小
- D. 两光分别照射同一单缝衍射装置，若只减小缝宽，中央亮纹宽度均变小



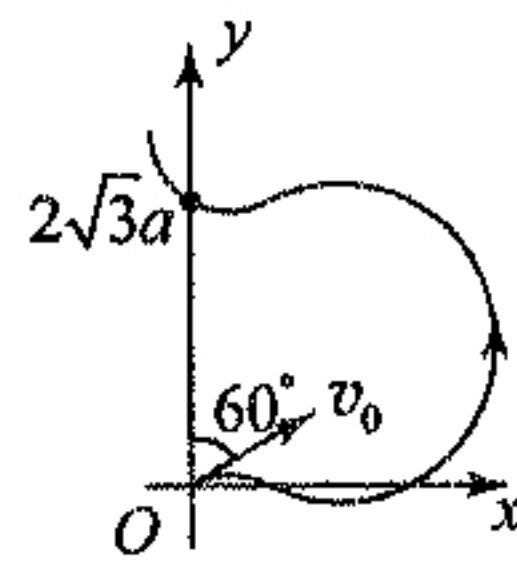
9. 空间中存在垂直于  $xOy$  平面的磁场， $x = a$  两侧的匀强磁场方向相反， $x > a$  区域的磁感应强度大小为  $x < a$  区域的 2 倍。不同带电粒子以速率  $v_0$  由原点沿  $xOy$  平面射入该磁场，则粒子的轨迹可能为下图中的



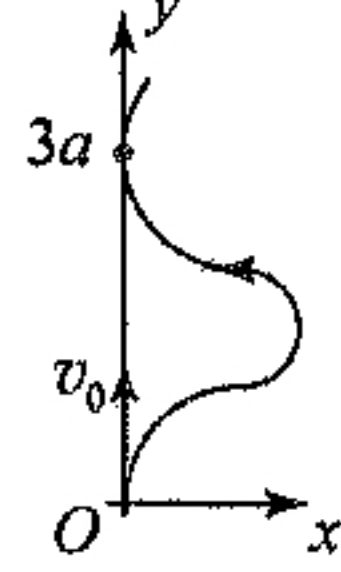
A



B



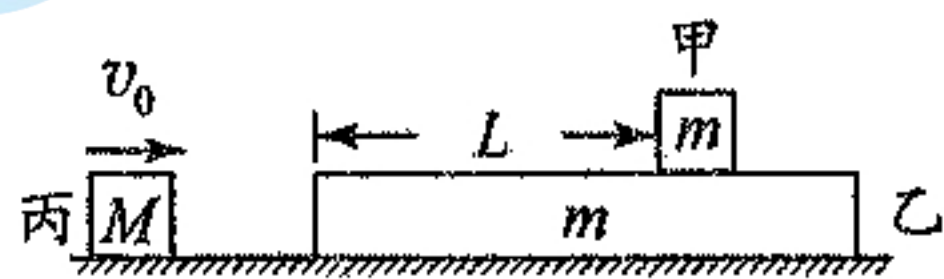
C



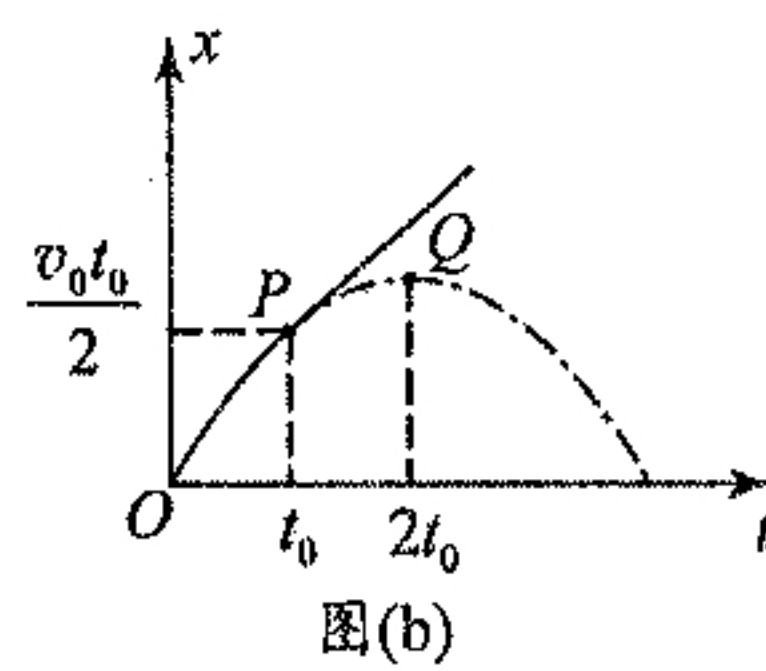
D

10. 如图(a)，质量均为  $m$  的小物块甲和木板乙叠放在光滑水平面上，甲到乙左端的距离为  $L$ ，初始时甲、乙均静止，质量为  $M$  的物块丙以速度  $v_0$  向右运动，与乙发生弹性碰撞。碰后，乙的位移  $x$  随时间  $t$  的变化如图(b) 中实线所示，其中  $t_0$  时刻前后的图像分别是抛物线的一部分和直线，二者相切于  $P$ ，抛物线的顶点为  $Q$ 。甲始终未脱离乙，重力加速度为  $g$ 。下列说法正确的是

- A. 碰后瞬间乙的速度大小为  $\frac{v_0}{3}$
- B. 甲、乙间的动摩擦因数为  $\frac{v_0}{3gt_0}$
- C. 甲到乙左端的距离  $L \geq \frac{v_0 t_0}{3}$
- D. 乙、丙的质量比  $m : M = 1 : 2$



图(a)

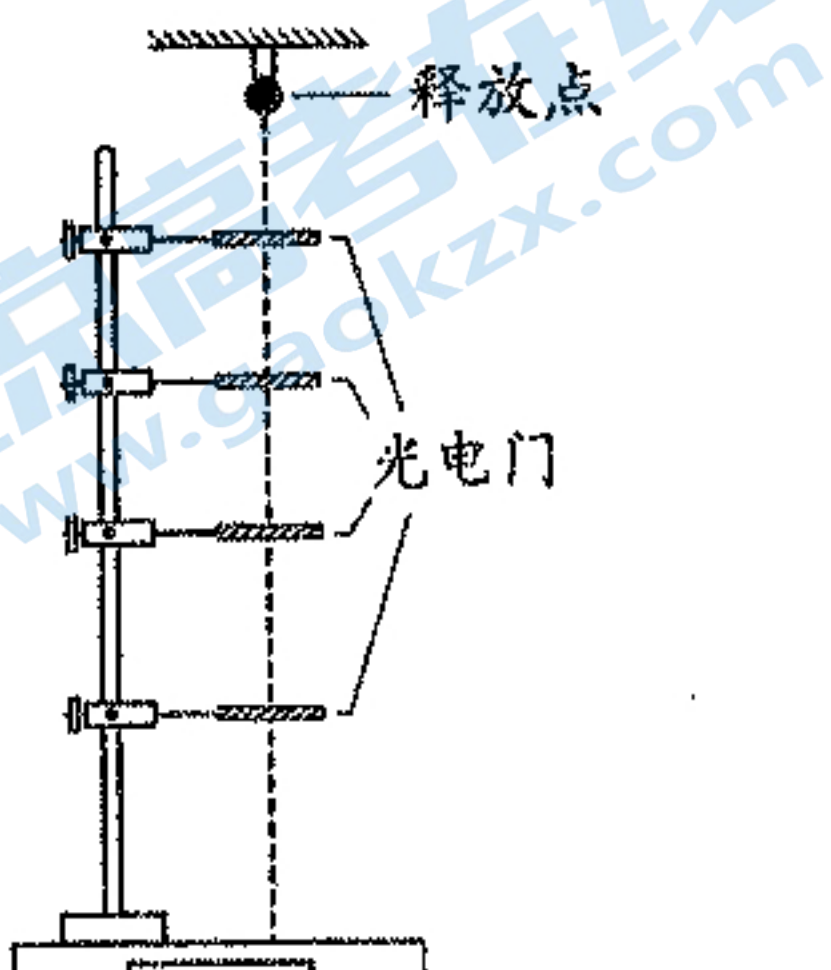


图(b)

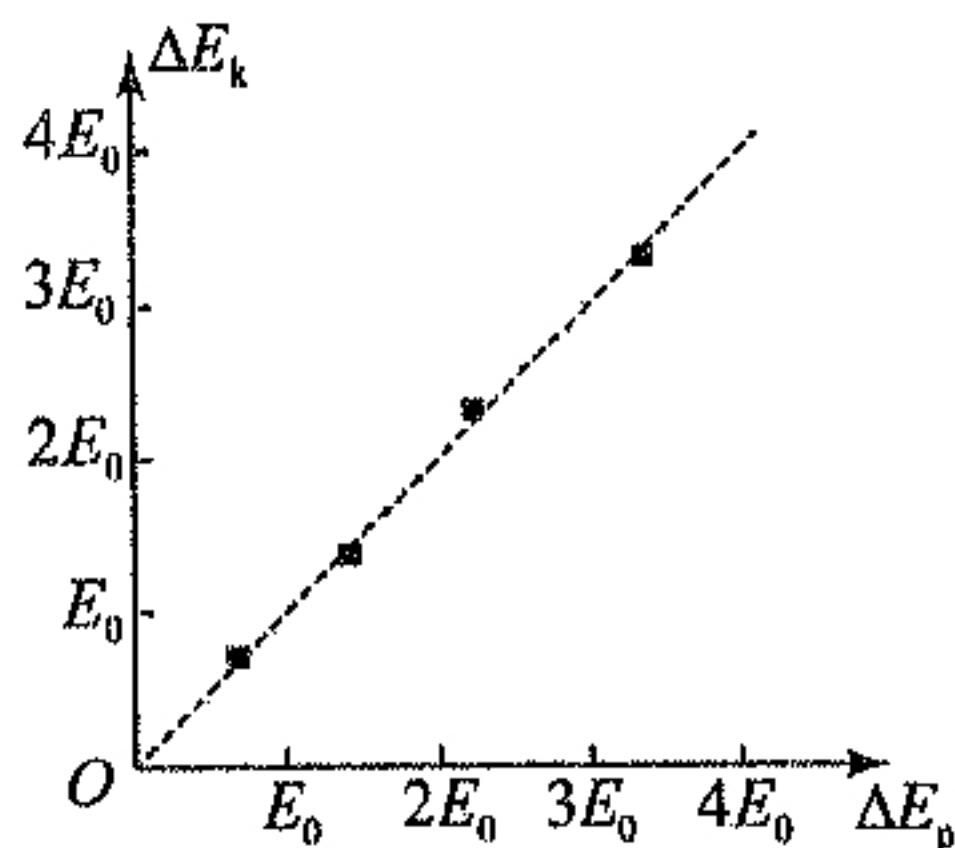
二、非选择题：本题共 5 小题，共 54 分。

11. (6 分)

某同学设计实验验证机械能守恒定律，装置如图 (a) 所示。一质量为  $m$ 、直径为  $d$  的小球固定于释放装置上，在小球正下方固定四个光电门，调节各光电门的中心，使其与小球的球心均在同一竖直线上。由静止释放小球，记录小球通过每个光电门的挡光时间，重力加速度为  $g$ 。



图(a)



图(b)

(1) 若测得某光电门的中心与释放点的竖直距离为  $h$ ，小球通过此光电门的挡光时间为  $\Delta t$ ，则小球从释放点下落至此光电门中心时的动能增加量  $\Delta E_k = \frac{1}{2}mv^2 = \frac{1}{2}m\left(\frac{d}{\Delta t}\right)^2$ ，重力势能减小量  $\Delta E_p = mgh$  (用题中字母表示)；

(2) 根据实验数据，作出  $\Delta E_k - \Delta E_p$  的图像，如图 (b) 所示。若图中虚线的斜率  $k \approx 1$ ，则可验证机械能守恒定律；

(3) 经过多次重复实验，发现小球经过第三个光电门时  $\Delta E_k$  总是大于  $\Delta E_p$ ，下列原因中可能的是 \_\_\_\_\_。

A. 第三个光电门的中心与释放点的竖直距离测量值偏大

B. 第三个光电门的中心偏离小球下落时球心所在的竖直线

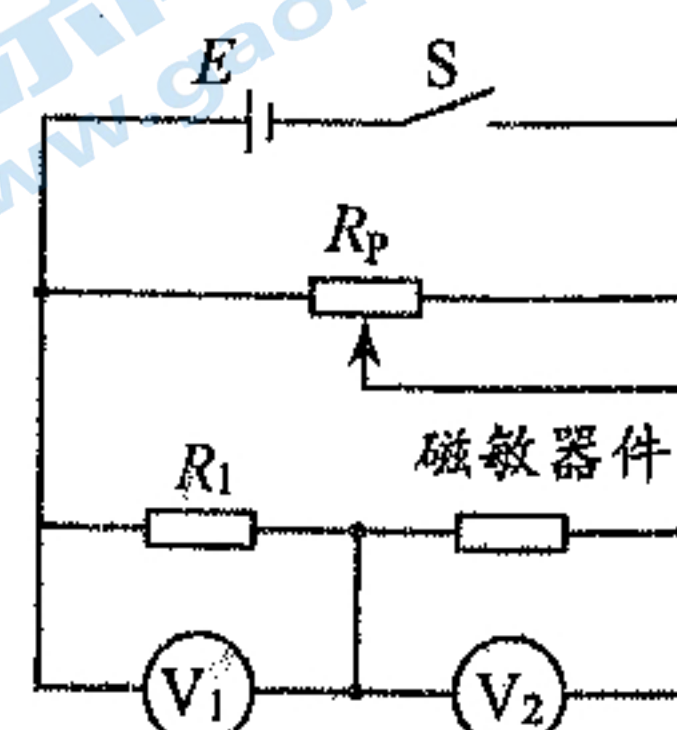
C. 小球下落过程中受到空气阻力的作用

## 12. (8分)

某些材料的电阻率在外磁场作用下发生改变的现象称为磁致电阻效应，利用该效应可以制作磁敏器件。为探究某磁敏器件材料的电阻率随外磁场的变化规律，设计如图(a)所示电路。该器件在无外磁场时的阻值为 $R_0$ ，加磁感应强度为 $B$ 的外磁场后，阻值变为 $R$ ，阻值的变化量 $\Delta R=R-R_0$ ，相对变化率 $\frac{\Delta R}{R_0}$ 能反映器件材料电阻率的变化。

图中 $V_1$ 和 $V_2$ 均为理想电压表，定值电阻 $R_1=300\Omega$ ， $R_p$ 为滑动变阻器，S为开关，E为电源。

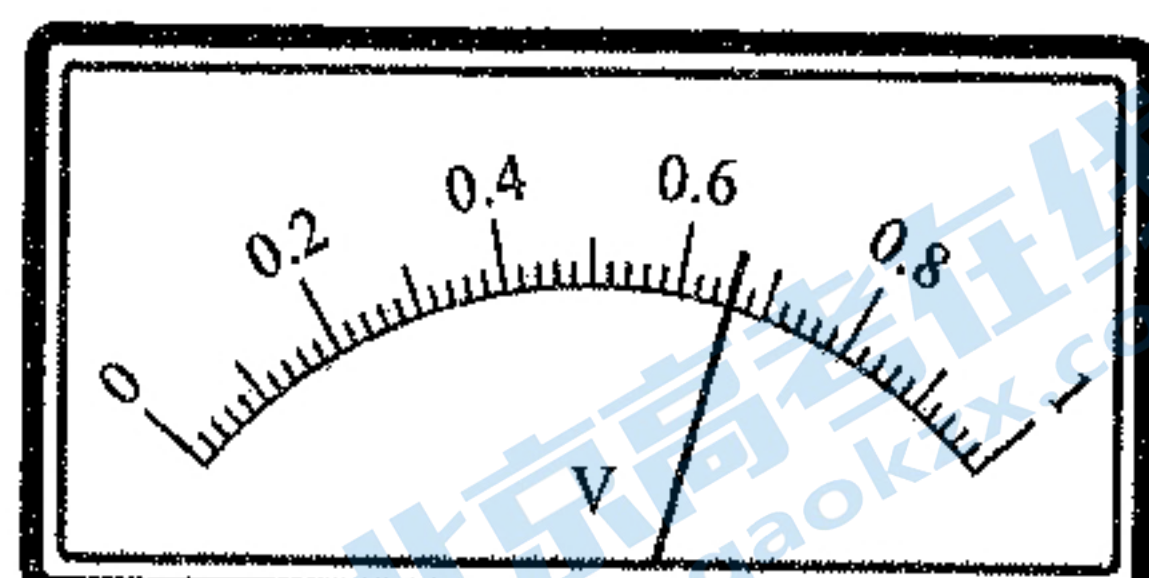
- (1) 不加外磁场，调节 $R_p$ 使 $V_1$ 示数为 $U_1=0.30\text{V}$ ，读出 $V_2$ 示数 $U_2=0.40\text{V}$ ，由此可计算出 $R_0=$ \_\_\_\_\_ $\Omega$ ；



图(a)

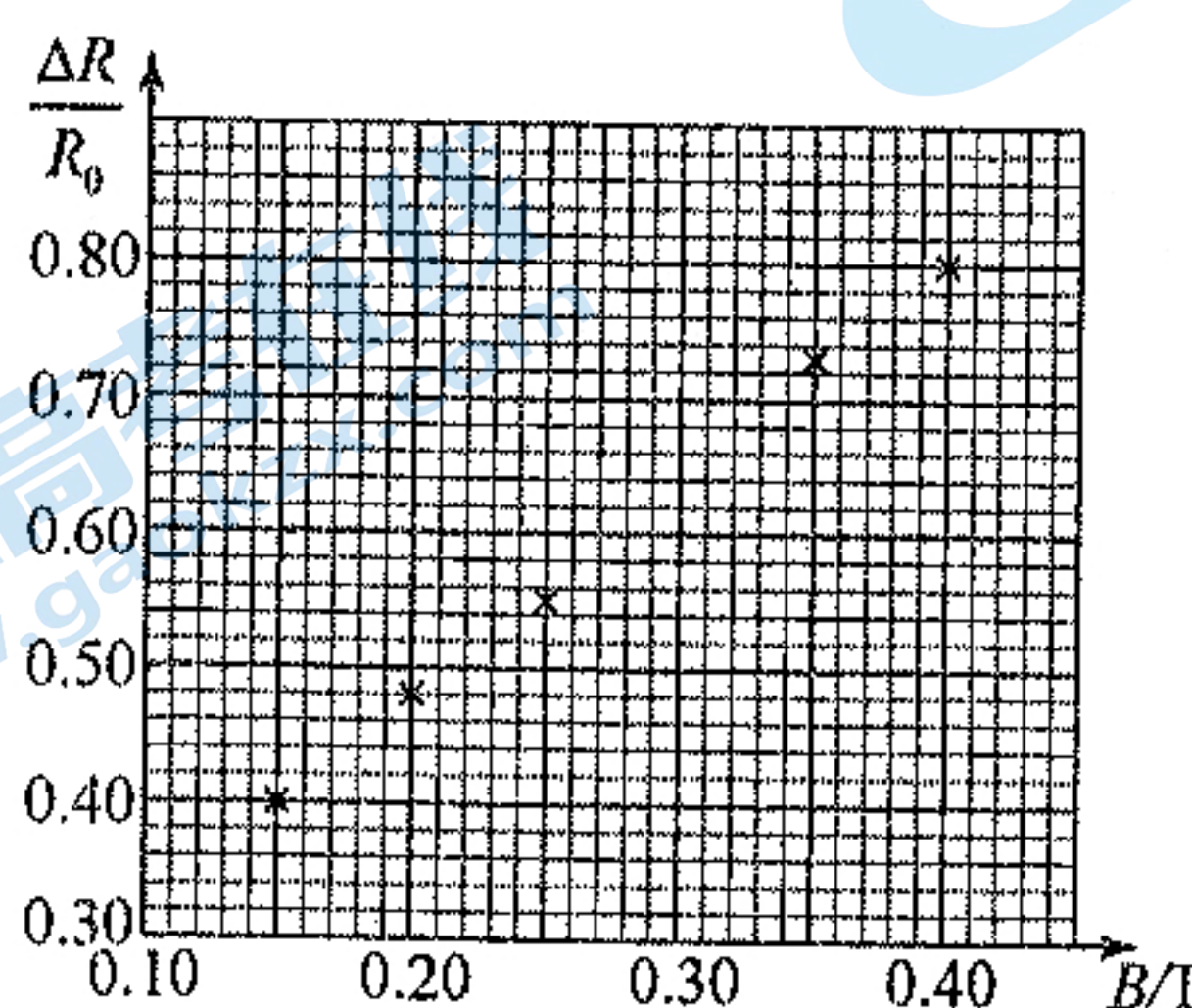
- (2) 加外磁场，调节 $R_p$ 使 $V_1$ 示数仍为 $0.30\text{V}$ ，记录 $B$ 和 $V_2$ 示数 $U_2$ ，计算 $\frac{\Delta R}{R_0}$ ；  
 (3) 改变 $B$ ，重复(2)操作，实验数据如下表， $B=0.30\text{T}$ 时，电压表 $V_2$ 示数如图(b)所示，读出数据，完成下表，答：①\_\_\_\_\_，②\_\_\_\_\_；

$B/\text{T}$	...	0.15	0.20	0.25	0.30	0.35	0.40
$U_2/\text{V}$	...	0.56	0.59	0.62	①	0.69	0.72
$\frac{\Delta R}{R_0}$	...	0.40	0.48	0.55	②	0.73	0.80



图(b)

- (4) 在图(c)坐标纸上将所缺数据点补充完整并作图。



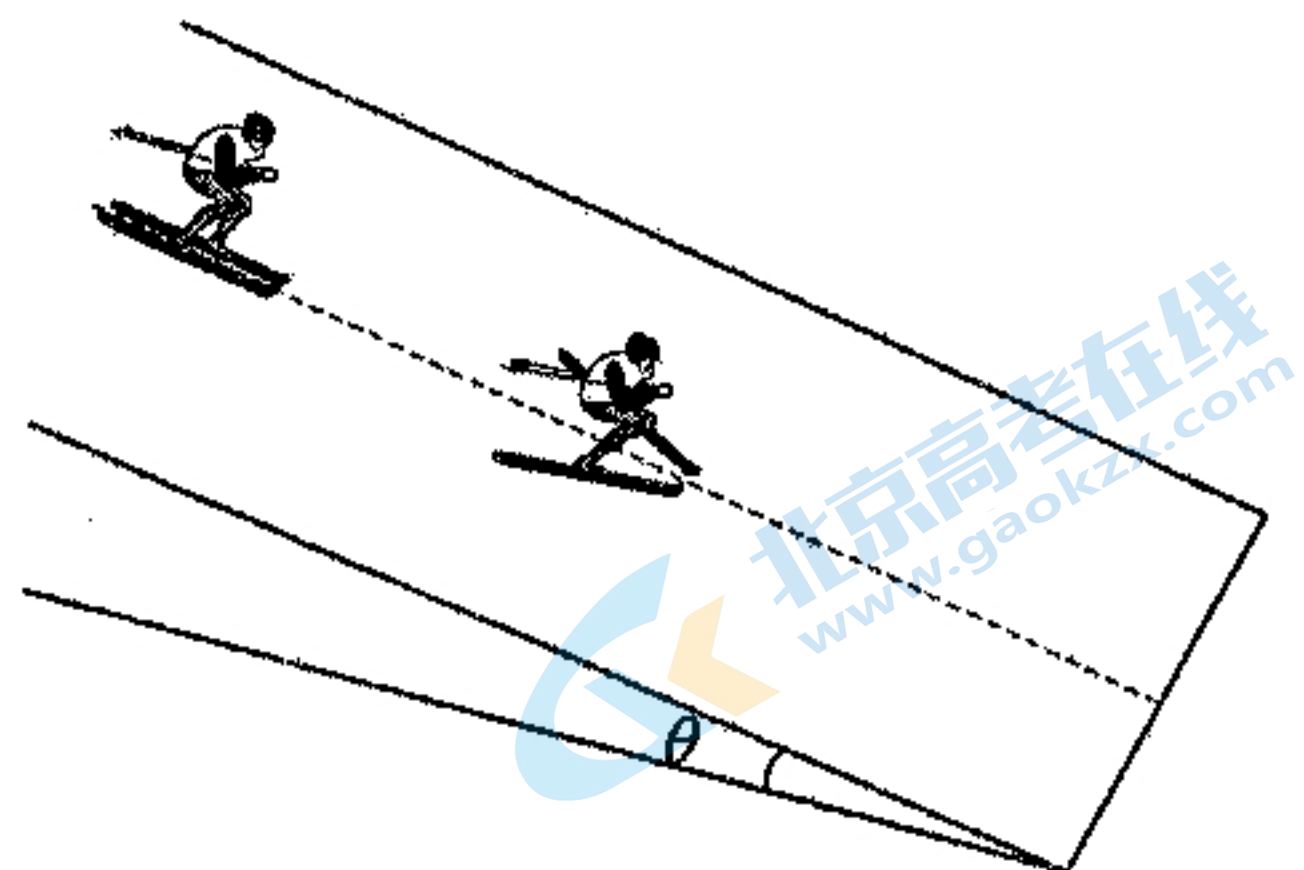
图(c)

由此可知， $B$ 在 $0.15\text{T}\sim 0.40\text{T}$ 范围内，该器件材料的电阻率随 $B$ 的增大而增大。

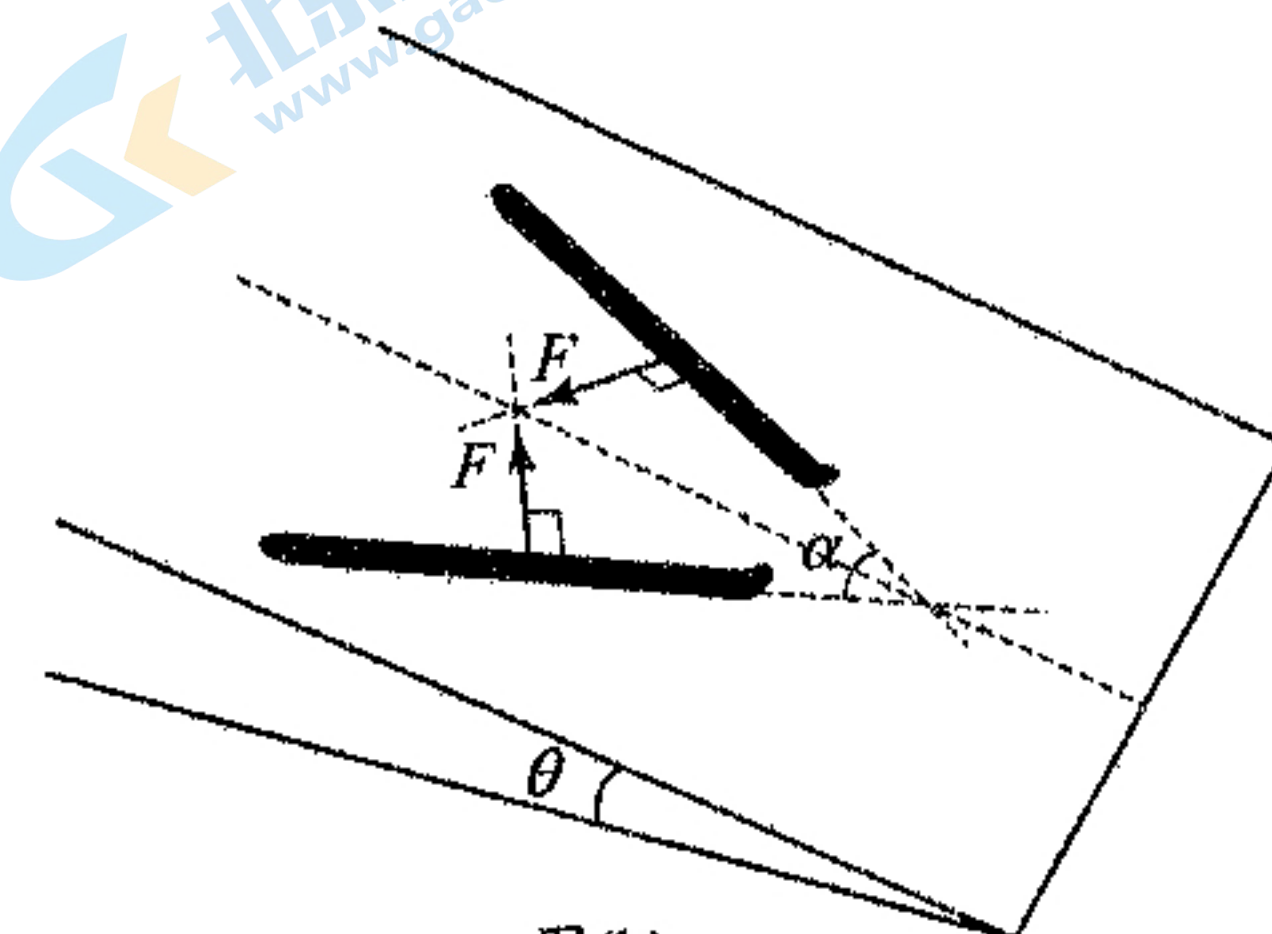
13. (10分)

滑雪是我国东北地区冬季常见的体育运动。如图(a), 在与水平面夹角  $\theta = 14.5^\circ$  的滑雪道上, 质量  $m = 60\text{ kg}$  的滑雪者先采用两滑雪板平行的滑雪姿势(此时雪面对滑雪板的阻力可忽略), 由静止开始沿直线匀加速下滑  $x_1 = 45\text{ m}$ ; 之后采取两滑雪板间呈一定角度的滑雪姿势, 通过滑雪板推雪获得阻力, 匀减速继续下滑  $x_2 = 15\text{ m}$  后停止。已知  $\sin 14.5^\circ = 0.25$ ,  $\sin 37^\circ = 0.6$ , 取重力加速度  $g = 10\text{ m/s}^2$ , 不计空气阻力。

- (1) 求减速过程中滑雪者加速度  $a$  的大小;
- (2) 如图(b), 若减速过程中两滑雪板间的夹角  $\alpha = 74^\circ$ , 滑雪板受到沿雪面且垂直于滑雪板边缘的阻力均为  $F$ , 求  $F$  的大小。



图(a)



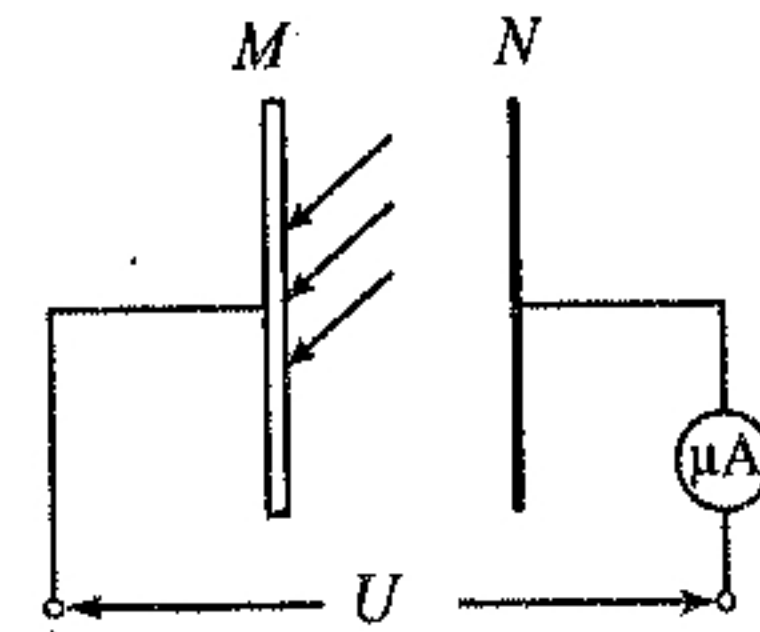
图(b)

## 14. (12分)

如图，真空中足够大的铝板  $M$  与金属板  $N$  平行放置，通过电流表与电压可调的电源相连。一束波长  $\lambda=200\text{ nm}$  的紫外光持续照射到  $M$  上，光电子向各个方向逸出。已知铝的逸出功  $W_0=6.73\times10^{-19}\text{ J}$ ，光速  $c=3.0\times10^8\text{ m/s}$ ，普朗克常量  $h=6.63\times10^{-34}\text{ J}\cdot\text{s}$ 。

(1) 求光电子的最大初动能  $E_k$  (计算结果保留两位有效数字)；

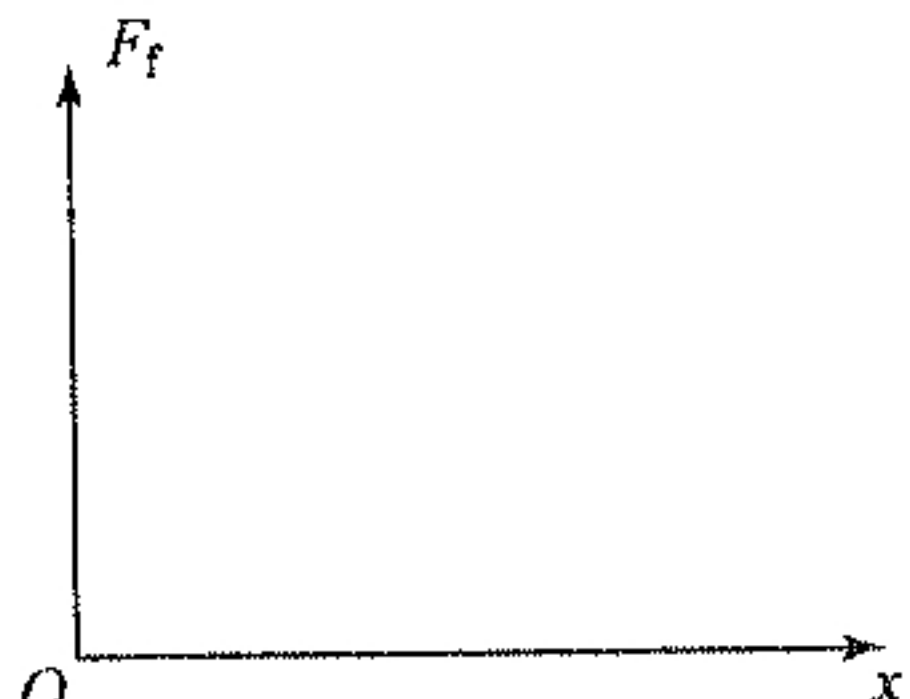
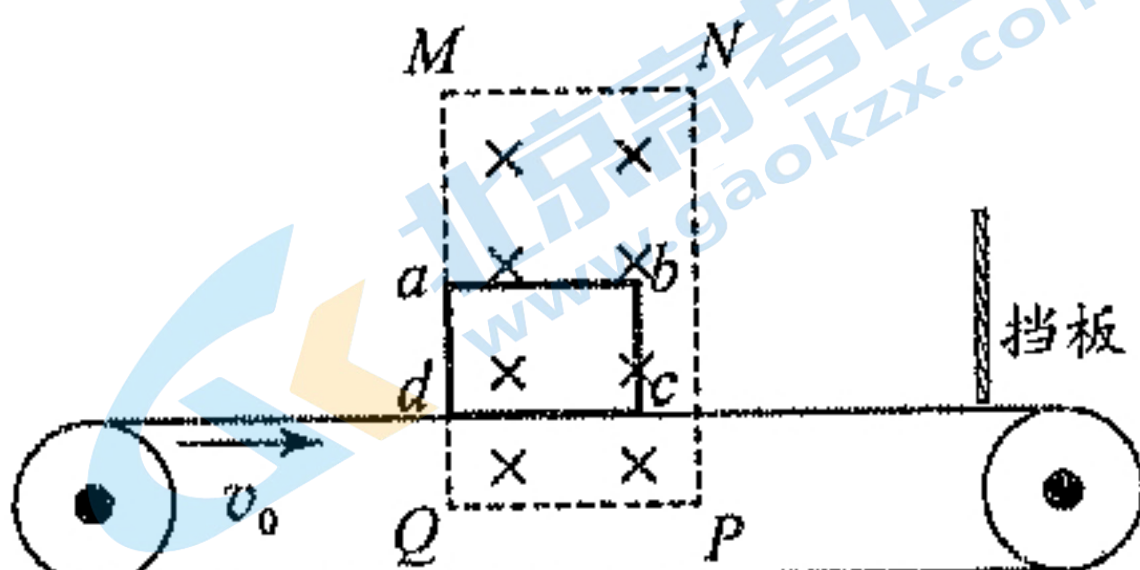
(2) 调节电压使电流表的示数减小到 0 时， $M$ 、 $N$  间的电压为  $U_0$ ；当电压为  $\frac{3}{4}U_0$  时，求能到达  $N$  的光电子中，初速度与  $M$  之间夹角的最小值  $\theta$ 。



15. (18分)

如图(a), 水平传送带以恒定速率  $v_0$  顺时针转动, 宽为  $4L$ 、足够高的矩形匀强磁场区域  $MNPQ$ , 磁感应强度大小为  $B$ , 方向垂直纸面向里, 磁场下边界  $QP$  水平。矩形导体框  $abcd$  无初速度地放在传送带上且  $ad$  与  $MQ$  重合,  $bc$  向右运动到  $NP$  时恰与传送带共速, 此时施加水平向右的拉力, 使导体框保持共速前的加速度离开磁场。 $ad$  离开磁场时撤掉拉力, 同时将  $QP$  提升到传送带上方距上表面  $L$  处。导体框继续向右运动, 与  $NP$  右侧  $4.5L$  处的竖直固定挡板发生弹性正碰。当  $ad$  返回  $NP$  时, 施加水平向左的拉力, 使导体框以此时的速度匀速通过磁场。已知导体框质量为  $m$ , 总电阻为  $R$ ,  $ab$  长为  $3L$ ,  $ad$  长为  $2L$ , 导体框平面始终与磁场垂直且不脱离传送带, 重力加速度为  $g$ 。

- (1) 求导体框从开始运动到与传送带共速过程中,  $ad$  两点间的电势差  $U_{ad}$  与时间  $t$  的关系式;
- (2) 求导体框向右离开磁场过程中, 拉力冲量  $I_F$  的大小;
- (3) 导体框向左通过磁场的过程中, 设  $ad$  到  $NP$  的距离为  $x$ , 导体框受到的摩擦力大小为  $F_f$ , 在图(b) 中定量画出导体框通过磁场过程中  $F_f - x$  图像, 不要求写出推导过程。



图(a)

图(b)